Лекция 8

«Взаимодействие гамма-квантов с веществом»

- 1. Процессы взаимодействия гамма-квантов
- 2. Фотоэффект
- 3. Характеристики сечения фотоэффекта
- 4. Сечение фотоэффекта
- 5. Направление вылета электрона
- 6. Комптон-эффект
- 7. Сечение комптон-эффекта на электроне
- 8. Сечение комптон-эффекта на протоне

Процессы взаимодействия гамма-квантов

Э/м взаимодействие гамма-квантов:

- -фотоэффект;
- упругое рассеяние на электронах (комптон-эффект);
- рождение пар частиц.

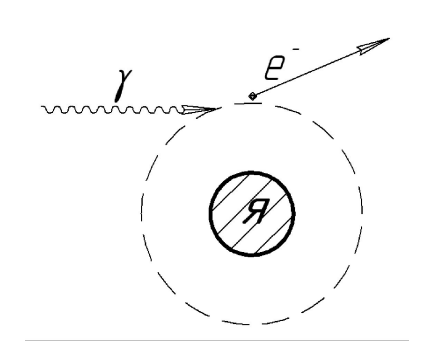
Процессы происходят в области энергий кэВ - сотни МэВ, которые наиболее часто используются в прикладных исследованиях.

Рассмотрим зависимость от энергии Еү и характеристик вещества (A,Z,ρ)

Связь между энергией ү-кванта и его длиной волны:

$$\lambda_{\gamma} = \frac{2\pi h}{pM \ni B} = \frac{2\pi hM \ni B \pi h a}{pc} = \frac{2 \cdot \pi \cdot h \cdot h \cdot h}{E} = \frac{2 \cdot \pi \cdot h \cdot h \cdot h}{E \cdot M \ni B} = \frac{2 \cdot \pi \cdot h \cdot h \cdot h}{E \cdot M \ni B} = \frac{1,24 \cdot 10^{-10}}{\sqrt{100}} = \frac{1,24 \cdot 10^{-$$

Фотоэффект



Фотоэффект – это процесс выбивания электрона из нейтрального атома, под

действием гамма-кванта $\gamma + amom \rightarrow e^- + (amom)^+$

Свободный электрон не поглощает

гамма-квант
$$\gamma + e \nearrow e$$

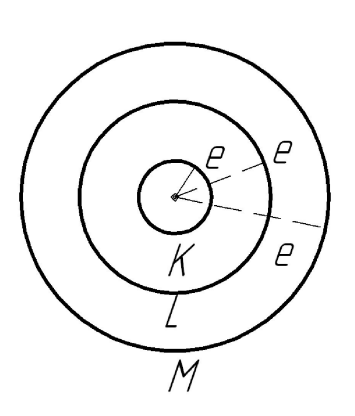
Пусть реакция идет Возведем в квадрат Преобразуем

$$P_{\gamma}+P_{e}=P_{e}^{'}$$
 используем 4-импульсы $(P_{\gamma}+P_{e})^{2}=(P_{e}^{'})^{2}$, $P_{\gamma}^{2}+2P_{\gamma}P_{e}+P_{e}^{2}=(P_{e}^{'})^{2}$ $0+2P_{\gamma}(E_{\gamma},iE_{\gamma})\cdot P_{e}(m_{e}c^{2},i0)+(m_{e}c^{2})^{2}=(m_{e}c^{2})^{2}$ $2(E_{\gamma}m_{e}c^{2}+E_{\gamma}\cdot 0)+(m_{e}c^{2})^{2}=m_{e}^{2}c^{4}$

Последнее равенство оказывается справедливым, если E_{γ} = 0, т.е. гамма-кванта нет. Значит $\gamma + e \swarrow e$

При фотоэффекте электрон получает энергию $T_i = E_i - I_i - X_A$ I_i – потенциал ионизации T_A - кинетическая энергия иона

Характеристики сечения фотоэффекта

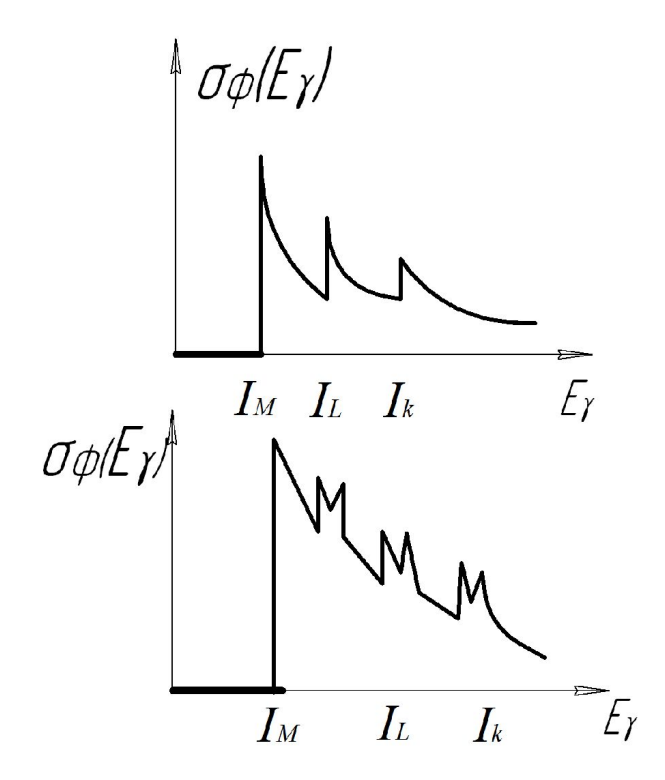


Фотоэффект возможен, если энергия ү-кванта больше потенциала ионизации $E_{\gamma} > I_i$ (K, L, M...-оболочки) Если $E_{\gamma} < I_k$, то выбивание электронов происходит только с внешних оболочек L, M..

Выбивание электронов с внутренних оболочек сопровождается монохроматическим рентгеновским характеристическим излучением, возникающим при переходе атомного электрона на освободившийся уровень. При этом может возникать целый каскад взаимосвязанных переходов.

Передача <u>энергии иона</u> одному или нескольким орбитальным электронам, приводит в вылету из атома <u>электронов Оже</u>.

Сечение фотоэффекта



Если энергия γ-кванта меньше чем потенциал ионизации самой наружной оболочки, то сечение фотоэффекта равно нулю.

Другой предельный случай - если энергия ү-кванта очень большая ($E\gamma >> I$), то можно считать что электрон свободен, а на свободных электронах фотоэффект не возможен.

С ростом энергии сечение асимптотически стремится к нулю.

В области энергий потенциалов ионизаций оболочек ($E\gamma = I_i$) сечение претерпевает скачки

На отрезке $I_M < E_\gamma < I_L$ сечение на М-оболочке падает, поскольку уменьшается связанность электрона на этой оболочке по отношению к энергии гамма-кванта, в то время как фотоэффект с L-оболочки еще энергетически запрещен.

Сечение фотоэффекта

Влияние сильной связанности электрона в атоме на сечение фотоэффекта отражается в степенной зависимости от заряда ядра σ_{ϕ} : Z^5

Квантово-механический расчет требует знания - функций атомных электронов на разных оболочках

$$\sigma = \left| M \right|^2 = \left| \int \psi^* \overset{\mathbb{M}}{H} \psi \, dv \right|^2$$

Эффективное сечение фотоэффекта с внутренней К-оболочки определяется соотношениями (см²/атом):

$$\sigma_{\phi o m o}^{K}(E_{\gamma}) = 4\sqrt{2}\alpha^{4}Z^{5}\sigma_{0}(\frac{m_{e}c^{2}}{E_{\gamma}})^{7/2}$$
 если $E\gamma$ << mc²

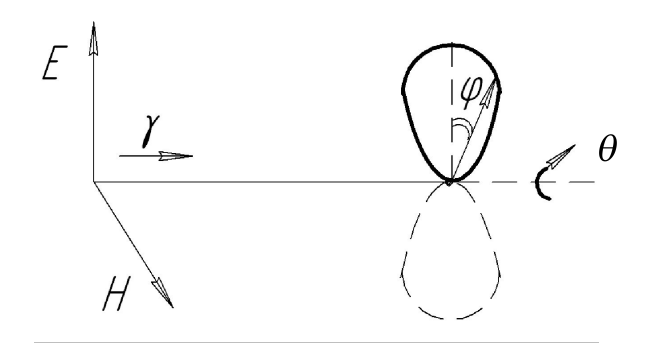
$$\sigma_{\phi omo}^{K}(E_{\gamma}) = \frac{3}{2} \alpha^{4} Z^{5} \sigma_{0} \frac{m_{e} c^{2}}{E_{\gamma}} \exp[-\pi \alpha Z + 2(\alpha Z)^{2} (1 - \ln(\alpha Z))]$$
 если $E_{\gamma} >> \text{mc}^{2}$

Где
$$\sigma_0 = \frac{8}{3}\pi c_e^2 m = 0,66 \cdot 10^{-24}$$
 гомсоновское сечение рассеяния

Сечение
$$\sigma_{_{d}}(E_{_{\gamma}})$$
 быстро падает \mathbb{Z} інле $T_{_{\gamma}}^{7/2}$ 1/ \mathbb{Z} $E_{_{\gamma}}$

Направление вылета электрона

Если пучек гамма-квантов $E_{\gamma} << m_e c^2$ попадает на атомы, то выбиваемые электроны вылетают преимущественно в направлении, перпендикулярном импульсу фотонов вдоль вектора электрического поля E волны. Поэтому. $\sigma_{\phi} \approx \sin^2 \theta \cdot \cos^2 \phi \cdot [f(E)]$

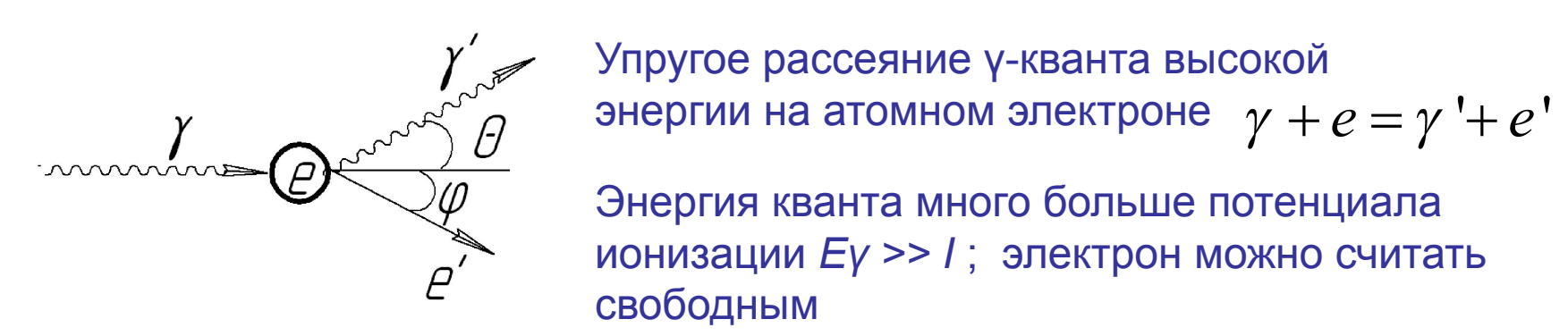


угловое распределение фотоэлектронов для небольших энергий $E_{_{\scriptscriptstyle \gamma}} << m_{_{\! \it e}} c^2$

распределение для высокоэнергичных фотонов

Фотоэффект - основной процесс поглощения фотонов при невысоких энергиях. Особенно эффективно поглощение на тяжелых атомах.

Комптон-эффект: энергия рассеянного фотона



свободным

В этом процессе ү-квант с энергией E_γ (волна - $\chi = \frac{\mathbb{N}c}{E_\gamma}$) при рассеянии проявлял свойства частицы ($p = \frac{\mathbb{N}c}{\chi}$)

Выясним, как зависит энергия рассеянного кванта $E_{_{_{\!\!v}}}{}'$ от угла рассеяния heta

Сохранение 4-импульсов
$$P_{\gamma} + P_{e} = P_{\gamma}^{'} + P_{e}^{'}$$
 $(P_{\gamma} + P_{e} - P_{\gamma}^{'})^{2} = (P_{e}^{'})^{2}$ $P_{\gamma}(E_{\gamma}, ip_{\gamma}^{\boxtimes}c)$ $P_{\gamma}(E_{\gamma}, ip_{\gamma}^{\boxtimes}c)$

Получаем зависимость энергии рассеянного $E_{\gamma}^{'} = \frac{E_{\gamma}}{1 + \frac{E_{\gamma}}{m \, c^2} (1 - \cos \theta)}$ ү-кванта $E_{\gamma}^{'}(\theta)$ на угол θ в виде

$$E_{\gamma}' = \frac{E_{\gamma}}{1 + \frac{E_{\gamma}}{m_{\rho}c^{2}}(1 - \cos\theta)}$$

Комптон-эффект: энергия рассеянного электрона

Энергия рассеянного электрона в зависимости от угла его рассеяния ϕ и связь углов рассеянных частиц: электрона arphi и ү-кванта heta

$$T_e = rac{2m_ec^2\cdot\cos^2{\phi}}{(1+rac{m_ec^2}{E_{\gamma}})^2-\cos^2{\phi}}$$
 и $tg\phi = rac{1}{1+rac{E_{\gamma}}{m_ec^2}}\cdot ctg(rac{ heta}{2})$ При высокой энергии $rac{E_{\gamma}}{m}$ 1

При высокой энергии $\frac{E_{\gamma}}{m_e^2}$ $\boxed{1}$ получается упрощенное выражение для энергии рассеянных гамма-квантов $E_{\gamma}^{'} = \frac{E_{\gamma}}{E_{\gamma}} (1-\cos\theta) = \frac{m_e c^2}{1-\cos\theta}$

$$E_{\gamma}' = \frac{E_{\gamma}}{\frac{E_{\gamma}}{m_{e}c^{2}}(1-\cos\theta)} = \frac{m_{e}c^{2}}{1-\cos\theta}$$

Энергия гамма-кванта после рассеяния не зависит от начальной энергии

Для электрона
$$E_{\gamma}' = \frac{m_e c^2}{1 - \cos \theta} = \frac{0.5 M \ni B}{1 - \cos \theta}$$

Например, при рассеянии назад ($\theta = 90^{\circ}$) всегда энергия $M \ni 0,25$

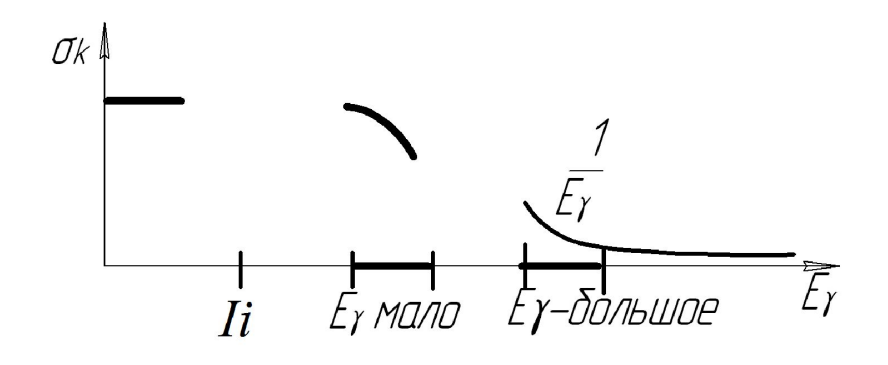
Такой результат - проявление корпускулярных свойств гамма-кванта

Сечение комптон-эффекта на электроне

Для энергий фотонов $\exists B \leq E_{\gamma} \leq 10^3 M \exists B$

соответствуют длины волн в области $10^{-4} \, c_{\mathcal{M}} \le \lambda \le 10^{-13} \, c_{\mathcal{M}}$

При низких энергиях (E < I) длина волны значительно больше размеров атома. Прохождение э/м волны вызывает когерентные колебания атомных электронов под действием переменной составляющей электрического поля. Электроны переизлучают волну той же частоты (томсоновское рассеяние).



При больших энергиях $E_{_{\gamma}} \ \ mc^2$

$$\sigma_{\text{\tiny KOMNM}}(E_{\gamma}) \boxtimes \frac{3}{8} \frac{m_e c^2}{E_{\gamma}} \sigma_0 \cdot (\frac{1}{2} + \ln \frac{2E_{\gamma}}{m_e c^2})$$

Квантово-механическая формула Клейна-Нишины-Тамма

для малых энергий $E_{\gamma} \ \mathbb{I} \ mc^2$

$$\sigma_{\text{\tiny KOMNIM}}(E_{\gamma}) \boxtimes \sigma_0 \cdot (1 - 2 \frac{E_{\gamma}}{m_e c^2} + \frac{26}{5} (\frac{E_{\gamma}}{m_e c^2})^2)$$

сечение квази-линейно падает с ростом энергии гамма-квантов

$$\sigma_{\kappa o M n m}^{a m}(E_{\gamma}) = \sum_{e=1}^{z} \sigma_{\kappa o M n m}^{e} \ \mathbb{I} \ \frac{z}{E_{\gamma}} \left[\frac{c M^{2}}{a m o M} \right]$$

Сечение комптон-эффекта на протоне

Возможен ли комптон-эффект на протоне? Качественное рассмотрение указывает, чтобы провзаимодействовать, гамма-квант должен "попасть в электромагнитную площадку" мишени $\sigma_{\kappa o M n m} \boxtimes \Lambda^2$, которая характеризуется комптоновской длиной волны $\Lambda_e = \frac{\boxtimes}{m_e c}$ или $\Lambda_p = \frac{\boxtimes}{m_p c}$ частицы.

Отсюда находим отношение
$$\frac{\sigma_{\kappa o M n m}^{p}}{\sigma_{\kappa o M n m}^{e}} = \left(\frac{m_{e}}{m_{p}}\right)^{2} \leq 10^{-6}$$

Видно, что комптон-эффектом на протонах можно пренебречь.

Аналогичный вывод получается из точных формул для сечения

При взаимодействии гамма-квантов с веществом проявляются квантово-механические свойства микрообъектов